

КООРДИНАЦИОННЫЕ СОЕДИНЕНИЯ

УДК 548.737

КООРДИНАЦИОННЫЙ ПОЛИМЕР – ТРИГИДРАТ ТРИАКВАБАРИЙ- μ - БИС(ЦИТРАТО)ГЕРМАНИЙ. СИНТЕЗ, СВОЙСТВА, МОЛЕКУЛЯРНАЯ И КРИСТАЛЛИЧЕСКАЯ СТРУКТУРА $\{[Ge(\mu-HCit)_2Ba(H_2O)_3] \cdot 3H_2O\}_n$

© 2010 г. А. Г. Песарогло*, Е. Э. Марцинко*, Л. Х. Миначева**,
И. И. Сейфуллина*, В. С. Сергиенко**

*Одесский национальный университет им. И.И. Мечникова, Украина

**Учреждение Российской академии наук Институт общей и неорганической химии
им. Н.С. Курнакова РАН, Москва

Поступила в редакцию 08.06.2009 г.

Впервые для класса цитратов германия(IV) получено координационное соединение полимерного строения – $\{[Ge(\mu-HCit)_2Ba(H_2O)_3] \cdot 3H_2O\}_n$ (H_4Cit – лимонная кислота), охарактеризованное элементным анализом, методами термогравиметрии, ИК-спектроскопии и РСА. Кристаллы триклинические, $a = 7.422(4)$, $b = 10.668(4)$, $c = 14.342(6)$ Å, $\alpha = 91.31(3)^\circ$, $\beta = 95.81(4)^\circ$, $\gamma = 104.08(4)^\circ$, $V = 1094.5(8)$ Å³, $Z = 2$, пр. гр. $P\bar{1}$, $R1 = 0.0479$ по 2284 отражениям с $I > 2\sigma(I)$. Два кристаллографически независимых октаэдрических аниона $[Ge(HCit)_2]^{2-}$ связаны ионами Ba^{2+} в полимерную цепочку. КЧ атома Ba равно 9. Цепочки объединены между собой и с кристаллизационными молекулами воды водородными связями.

Особенности структуры координационных полимеров (КП) – соединений, состоящих из комплексов-мономеров, связанных в бесконечные цепочки за счет мостиковой функции лиганда, определяют их уникальные практические значимые свойства. КП используют как наполнители и модификаторы других полимеров, как полупроводники и катализаторы (например, полифталоцианины), для изготовления пленок, покрытий и термостойких изделий, устойчивых к действию растворителей. КП – гидроксизамещенные антрахионы – применяют как фотостабилизаторы, полифосфаты титана и хрома – как антистатики [1, 2].

Один из вариантов получения КП – применение в качестве исходных органических дитопных лигандов (к которым, в частности, относятся и полигидроксополикарбоновые кислоты). В этом случае процесс комплексообразования представляет собой практическую реакцию полимеризации. Особое место в исследованиях по инженерии кристаллов занимают гетероядерные КП, с помощью которых можно создавать прочные кристаллические конструкции.

Ранее мы изучили мономерные бисцитратогерманаты с различными внешнесферными лигандами [3, 4]. Задача настоящей работы – выяснение возможности получения гетерометаллического КП $BaGe(HCit)_2 \cdot 6H_2O$ (I) (H_4Cit – лимонная кислота) на основе бис-цитратогерманата и катиона бария, определение его свойств и строения.

ЭКСПЕРИМЕНТАЛЬНАЯ ЧАСТЬ

Синтез. На первом этапе синтеза комплекса I навески 1.046 г (0.01 моль) GeO_2 и 4.2 г (0.02 моль) моногидрата лимонной кислоты $C_6H_8O_7 \cdot H_2O$ вносили в 500 мл горячей воды, нагревали (80–90°C) при постоянном перемешивании до полного растворения реагентов и упаривали на водяной бане до 150 мл (~2 ч). К полученному горячему раствору порциями добавляли 0.01 моль карбоната бария, продолжая нагревать в течение 10 мин. После охлаждения мутный раствор дважды фильтровали через бумажные фильтры. Через 2 сут выпадал белый осадок комплекса I, содержащий пригодные для РСА кристаллы.

Элементный анализ. Содержание германия и бария определяли методом атомно-эмиссионной спектроскопии с индуктивно связанный плазмой на приборе Optima 2000 DV (фирма Perkin Elmer), углерода и водорода – с помощью полуавтоматического C,N,H-анализатора. Гидратный состав устанавливали с привлечением расчетов по термогравиметрической кривой.

	Ge	Ba	C	H	H_2O
Найдено, %:	10.40;	19.70;	20.68;	3.17;	15.50.
Для $C_{12}H_{22}BaGeO_{20}$ вычислено, %:	10.43;	19.72;	20.70;	3.19;	15.53.

Термогравиметрический анализ (ТГА) проводили на дериватографе Q-1500Д (воздушная атмо-

сфера, интервал температур 20–1000°C, скорость нагрева 10 град/мин).

Рентгенофазовый анализ (РФА) проведен на дифрактометре ДРОН-0.5 на медном антикатоде с никелевым фильтром.

ИК-спектры поглощения ($400\text{--}4000\text{ см}^{-1}$) цитратного лиганда и комплекса I записывали на спектрофотометре Shimadzu FTIR-8400S.

РСА. Кристаллы I ($M = 696.23$) триклинические, $a = 7.422(4)$, $b = 10.668(4)$, $c = 14.342(6)$ Å, $\alpha = 91.31(3)^\circ$, $\beta = 95.81(4)^\circ$, $\gamma = 104.08(4)^\circ$, $V = 1094.5(8)$ Å 3 , $\rho_{\text{вып}} = 2.113$ г/см 3 , $\mu(\text{MoK}_\alpha) = 3.258$ мм $^{-1}$, $F(000) = 684$, $Z = 2$, пр. гр. $P\bar{1}$.

Экспериментальный материал (5847 отражений, из них 4744 независимых, $R(\text{int}) 0.0582$) получен при комнатной температуре (293(2) К) с кристалла размером $0.28 \times 0.21 \times 0.14$ мм на автоматическом дифрактометре Enraf-Nonius CAD-4 (MoK_α , $\lambda = 0.71073$ Å, графитовый монохроматор, ω -сканирование). Отражения собраны в интервале индексов $-1 \leq h \leq 9$, $-13 \leq k \leq 13$, $-18 \leq l \leq 18$ ($2.49^\circ \leq \theta \leq 26.97^\circ$; заполнение по $\theta = 99.1\%$).

Структура решена прямыми методами (SHELXS-97 [5]) и уточнена методом наименьших квадратов по F^2 (SHELXL-97 [6]) в полноматричном анизотропном для всех неводородных атомов приближении. Положения 9 из 12 атомов водорода молекул воды и двух карбоксильных атомов Н лигандов HCit $^{3-}$, определенные экспериментально из разностных синтезов электронной плотности, не уточняли. Позиции остальных атомов Н (при атомах углерода) рассчитаны из геометрических соображений и уточнены методом “наездника” с изотропными температурными факторами U_H , в 1.2 раза большими фактора U атома углерода, с которым связан данный атом Н.

Окончательные значения факторов недостоверности: $R1 = 0.0479$, $wR2 = 0.1129$, $GOOF = 0.999$ по 2284 отражениям с $I > 2\sigma(I)$; $R1 = 0.1710$, $wR2 = 0.1563$ по всем независимым рефлексам. Общее число уточняемых параметров равно 311, коэффициент экстинкции 0.0000(7). Значения $\Delta\rho_{\text{max}}$ и $\Delta\rho_{\text{min}}$ составляют 1.687 и $-1.527\text{ e } \text{\AA}^{-3}$ соответственно.

Координаты и тепловые параметры атомов структуры I приведены в табл. 1, межатомные расстояния и валентные углы – в табл. 2.

Структурные данные депонированы в Кембриджском банке структурных данных (CCDC № 733564).

РЕЗУЛЬТАТЫ И ИХ ОБСУЖДЕНИЕ

Выделенный комплекс I представляет собой устойчивое на воздухе кристаллическое вещество белого цвета с мольным соотношением Ge : Ва : лиганд = 1 : 1 : 2.

Термическое разложение I начинается с эндотермического эффекта в интервале температур 90–250°C (максимум при 120°C), который сопровождается отделением шести молекул воды. Широкий температурный интервал позволяет заключить, что комплекс содержит как кристаллизационную, так и координированную воду. О том, что I является гидратом, свидетельствуют и полосы валентных колебаний $\nu(\text{H}_2\text{O})$ в его ИК-спектре в области $\sim 3420\text{ см}^{-1}$.

В интервале 330–360°C (максимум эндоэффекта 340°C) происходит частичное декарбоксилирование с удалением трех молекул CO₂. Далее наблюдается ряд экзоэффектов, связанных с окислительной термодеструкцией вещества. На основании расчета убыли массы по кривой ТГ конечные продукты термодеструкции при 1000°C – диоксид германия и карбонат бария, что подтверждается данными РФА остатка и согласуется с известной для BaCO₃ высокой термической устойчивостью (разложение до оксида при 1300°C) [7].

Отнесение важнейших полос поглощения в ИК-спектре I проведено в соответствии с литературными данными для гидроксокарбоновых кислот и координационных соединений лимонной кислоты с германием(IV) [3, 4, 8].

Отсутствие в ИК-спектре комплекса полос $\nu(\text{C=O})$ по сравнению со спектром молекулы H₄Cit (1720 см $^{-1}$) свидетельствует о том, что в I нет свободных карбоксильных групп. В то же время наблюдается полоса $\nu(\text{COOH}) = 1694\text{ см}^{-1}$, характерная для координированной карбоксильной группы, а также полосы $\nu_{as}(\text{COO}^-) = 1623$, $\nu_s(\text{COO}^-) = 1416\text{ см}^{-1}$ и $\nu_{as}(\text{COO}^-) = 1604$, $\nu_s(\text{COO}^-) = 1440\text{ см}^{-1}$, характеризующие связи карбоксилатных ионов с германием и барием различной степени ионности. На основании $\Delta\nu = \nu_{as}(\text{COO}^-) - \nu_s(\text{COO}^-) = 207$ и 164 см^{-1} сделан вывод о том, что в комплексе I присутствуют, соответственно, монодентатные и би- либо триденатные карбоксильные группы [9].

На депротонирование OH-группы лимонной кислоты и, следовательно, ее связь с германием указывает исчезновение характерных для нее колебаний в области $\sim 3600\text{ см}^{-1}$ в спектре комплекса I по сравнению с цитратной молекулой.

На основании информации о положении полос $\nu(\text{Ge-O})$, полученной нами для ряда координационных соединений германия с многоосновными кислотами [3, 4, 10–12], установлено, что в ИК-спектре I присутствуют не одна, а три соответствующие полосы 666, 624 и 563 см $^{-1}$, что свидетельствует о неравноценности связей Ge-O.

Структурные единицы кристалла I – два кристаллографически независимых центросимметричных комплексных аниона $[\text{Ge}(\text{HCit})_2]^{2-}$, катион Ba $^{2+}$ и шесть кристаллографически независимых молекул воды.

Таблица 1. Координаты атомов ($\times 10^4$, для атомов H $\times 10^3$) и их тепловые параметры $U_{\text{экв}}/U_{\text{изо}}$ (\AA^2 , $\times 10^3$) в структуре I*

Атом	<i>x</i>	<i>y</i>	<i>z</i>	$U_{\text{экв}}/U_{\text{изо}}$
Ba(1)	5846(1)	8395(1)	8008(1)	30(1)
O(15)	3876(13)	10299(8)	7736(6)	58(2)
O(16)	7533(14)	9645(9)	9685(6)	65(3)
O(17)	9552(12)	8231(9)	8020(8)	75(3)
Ge(1)	5000	5000	0	33(1)
O(1)	2531(9)	4121(7)	175(5)	40(2)
O(2)	328(9)	4350(7)	1053(5)	38(2)
O(3)	5161(9)	5858(7)	1111(5)	35(2)
O(4)	4100(10)	6372(7)	-631(5)	38(2)
O(5)	3216(12)	8178(7)	-644(5)	47(2)
O(6)	3311(14)	5051(8)	3712(6)	63(3)
O(7)	3824(13)	4013(8)	2469(6)	58(2)
C(1)	1885(13)	4715(9)	816(7)	31(2)
C(2)	3314(14)	5944(9)	1279(7)	33(2)
C(3)	2856(15)	7085(10)	770(7)	36(2)
C(4)	3413(15)	7248(10)	-225(8)	38(2)
C(5)	3230(17)	6087(10)	2315(8)	41(3)
C(6)	3464(15)	4947(10)	2838(7)	36(2)
Ge(2)	5000	0	5000	23(1)
O(8)	6999(8)	-151(6)	4319(4)	29(1)
O(9)	9836(9)	996(6)	4103(5)	37(2)
O(10)	6006(8)	1725(6)	5110(5)	30(2)
O(11)	6406(9)	-198(6)	6181(4)	29(1)
O(12)	8277(10)	612(7)	7446(5)	43(2)
O(13)	7251(10)	2713(7)	3225(5)	42(2)
O(14)	8542(15)	4751(7)	3682(6)	69(3)
C(7)	8393(13)	891(8)	4455(6)	25(2)
C(8)	7997(11)	1916(8)	5096(6)	24(2)
C(9)	8888(12)	1777(9)	6082(6)	26(2)
C(10)	7803(13)	689(9)	6611(7)	30(2)
C(11)	8757(13)	3289(9)	4802(7)	32(2)
C(12)	8088(13)	3515(10)	3811(8)	35(2)
O(18)	8331(11)	5647(8)	2058(6)	49(2)
O(19)	1567(11)	1557(8)	8619(6)	57(2)
O(20)	3224(13)	2927(9)	4557(9)	81(3)
H(1)	345	441	406	80
H(2)	845	525	307	80
H(3)	350	1029	727	80
H(4)	358	1094	790	80
H(5)	765	1036	997	80
H(6)	761	903	999	80
H(7)	678	571	201	80
H(8)	193	259	862	80
H(9)	46	126	817	80

* Приведены координаты атомов водорода, участвующих в ВС.

Таблица 2. Основные длины связей (d) и валентные углы (ω) в структуре I

Связь	$d, \text{ \AA}$	Связь	$d, \text{ \AA}$
Ba(1)–O(7)#1	2.718(8)	C(2)–C(5)	1.499(14)
Ba(1)–O(16)	2.750(9)	C(2)–C(3)	1.524(14)
Ba(1)–O(13)#1	2.751(7)	C(3)–C(4)	1.527(13)
Ba(1)–O(15)	2.790(8)	C(5)–C(6)	1.480(14)
Ba(1)–O(12)#2	2.794(7)	Ge(2)–O(10)	1.806(6)
Ba(1)–O(17)	2.796(9)	Ge(2)–O(11)	1.942(6)
Ba(1)–O(5)#3	2.857(7)	Ge(2)–O(8)	1.893(6)
Ba(1)–O(4)#3	3.081(7)	O(8)–C(7)	1.317(10)
Ba(1)–O(11)#2	3.064(6)	O(9)–C(7)	1.212(11)
Ge(1)–O(3)	1.798(6)	O(10)–C(8)	1.443(10)
Ge(1)–O(1)	1.889(6)	O(11)–C(10)	1.310(11)
Ge(1)–O(4)	1.955(7)	O(12)–C(10)	1.224(12)
O(1)–C(1)	1.299(11)	O(13)–C(12)	1.194(12)
O(2)–C(1)	1.212(11)	O(14)–C(12)	1.302(12)
O(3)–C(2)	1.440(11)	C(7)–C(8)	1.514(12)
O(4)–C(4)	1.319(12)	C(8)–C(11)	1.522(12)
O(5)–C(4)	1.203(13)	C(8)–C(9)	1.525(12)
O(6)–C(6)	1.275(12)	C(9)–C(10)	1.510(13)
O(7)–C(6)	1.216(12)	C(11)–C(12)	1.502(15)
C(1)–C(2)	1.558(14)		
Угол	$\omega, \text{ град}$	Угол	$\omega, \text{ град}$
O(3)Ge(1)O(1)	88.7(3)	O(11)Ge(2)O(8)	91.7(3)
O(3)Ge(1)O(4)	89.8(3)	C(7)O(8)Ge(2)	111.2(5)
O(1)Ge(1)O(4)	90.8(3)	C(8)O(10)Ge(2)	106.9(5)
C(1)O(1)Ge(1)	111.2(6)	C(10)O(11)Ge(2)	125.1(6)
C(2)O(3)Ge(1)	108.4(6)	C(12)O(14)H(2)	130
C(4)O(4)Ge(1)	125.8(7)	O(9)C(7)O(8)	122.6(8)
C(6)O(6)H(1)	119	O(9)C(7)C(8)	124.5(8)
O(2)C(1)O(1)	124.0(9)	O(8)C(7)C(8)	112.9(7)
O(2)C(1)C(2)	122.1(9)	O(10)C(8)C(7)	110.0(7)
O(1)C(1)C(2)	113.9(7)	O(10)C(8)C(11)	107.3(7)
O(3)C(2)C(5)	109.3(9)	C(7)C(8)C(11)	113.4(7)
O(3)C(2)C(3)	109.0(7)	O(10)C(8)C(9)	109.2(7)
C(5)C(2)C(3)	111.6(8)	C(7)C(8)C(9)	107.8(7)
O(3)C(2)C(1)	108.2(7)	C(11)C(8)C(9)	109.1(7)
C(5)C(2)C(1)	112.7(8)	C(10)C(9)C(8)	115.0(7)
C(3)C(2)C(1)	105.9(9)	O(11)C(10)O(12)	119.6(9)
C(4)C(3)C(2)	116.3(8)	O(11)C(10)C(9)	121.0(8)
C(3)C(4)O(5)	119.9(9)	O(12)C(10)C(9)	119.4(8)
C(3)C(4)O(4)	120.5(9)	C(12)C(11)C(8)	113.9(8)
O(5)C(4)O(4)	119.6(9)	O(13)C(12)O(14)	124.2(11)
C(6)C(5)C(2)	114.2(8)	O(13)C(12)C(11)	126.8(10)
O(7)C(6)O(6)	123.2(10)	O(14)C(12)C(11)	109.0(9)
O(7)C(6)C(5)	122.8(10)	H(3)O(15)H(4)	95
O(6)C(6)C(5)	114.0(8)	H(5)O(16)H(6)	118
O(10)Ge(2)O(11)	89.8(3)	H(8)O(19)H(9)	106
O(10)Ge(2)O(8)	88.1(3)		

Симметрические преобразования для эквивалентных атомов: #1 $-x + 1, -y + 1, -z + 1$, #2 $x, y + 1, z$, #3 $x, y, z + 1$.

Структура I имеет цепочечное строение (рис. 1). В цепочке ионы Ba^{2+} связывают кристаллографически независимые анионы $[\text{Ge}(\text{HCit})_2]^{2-}$ (А и Б, рис. 2а и 2б) с помощью атомов кислорода пентадентатных *tris*(хелатно)- μ_3 -мостиковых лигантов HCit^{3-} .

В каждом из двух сходных по строению мономерных центросимметричных комплексов А и Б атом Ge координирован по вершинам слегка искаженного октаэдра (граневый изомер) тремя парами атомов кислорода трех сортов двух тридентатно-*bis*(хелатных) (по отношению к атомам Ge) лигантов HCit^{3-} : гидроксильными (O(3) и O(10) в А и Б соответственно), α -карбоксилатными (O(1) и O(8)) и β -карбоксилатными (O(4) и O(11)). Вторая – протонированная – β -карбоксилатная ветвь $\text{CH}_2\text{CO}_2\text{H}$ каждого из двух лигантов HCit^{3-} в А и Б в координации с атомом Ge не участвует. Связи Ge–O, как обычно, неравноценны по длине. Связи Ge–O(гидроксил) (средн. $1.802(6) \pm 0.004 \text{ \AA}$) существенно короче, чем Ge–O(карбоксилат). При этом связи Ge–O(карбоксилат) для β -ветвей (средн. $1.948(6) \pm 0.006 \text{ \AA}$) заметно длиннее, чем Ge–O(карбоксилат) для α -ветвей (средн. $1.891(6) \pm 0.002 \text{ \AA}$).

Координация цитратных лигандов приводит к образованию шести- и пятичленных хелатных циклов GeO_2C_3 и GeO_2C_2 . Оба шестичленных цикла в комплексах А и Б имеют конформацию софы: атомы O(3) и O(10) отклоняются от “своих” пятиатомных плоскостей атомов Ge(1), O(4), C(2), C(3), C(4) (плоскость 1, $\Delta_{cp} = 0.047 \text{ \AA}^2$) и Ge(2), O(11), C(8), C(9) и C(10) (2, $\Delta_{cp} = 0.058 \text{ \AA}^2$) соответственно на 0.872 и 0.904 \AA . Пятичленные металлоциклы в А и Б имеют конформацию конверта с отгибом “клапанов” – атомов O(3) и O(10) – от плоскостей Ge(1), O(1), C(1) и C(2) (3, $\Delta_{cp} = 0.007 \text{ \AA}^2$) и Ge(2), O(8), C(7) и C(8) (4, $\Delta_{cp} = 0.004 \text{ \AA}^2$) на 0.494 и 0.526 \AA соответственно. Двугранные углы: 1/3 101.3°, 2/4 104.5°.

Связи C–O в кристалле I в зависимости от структурной функции цитратного атома кислорода можно разделить на четыре группы. Концевые связи C–O(карбонил) – наиболее короткие (средн. $1.210(12) \pm 0.004 \text{ \AA}$). Промежуточное значение имеют связи C–O(карбоксил) в координированных и концевых (протонированных) карбоксилатных ветвях ($1.311(11) \pm 0.013$ и $1.289(12) \pm 0.014 \text{ \AA}$ соответственно). Наиболее длинная связь C–O – до координированного (депротонированного) гидроксильного атома кислорода ($1.442(11) \pm 0.002 \text{ \AA}$).

Сходный с установленным в I тридентатно-*bis*(хелатный) (относительно атома Ge) способ координации лиганда HCit^{3-} найден также в

¹ За дентатность мы принимаем количество атомов кислорода лиганда HCit^{3-} , связанных с атомами германия и бария.

² Δ_{cp} – средняя величина отклонения атомов от соответствующей плоскости.

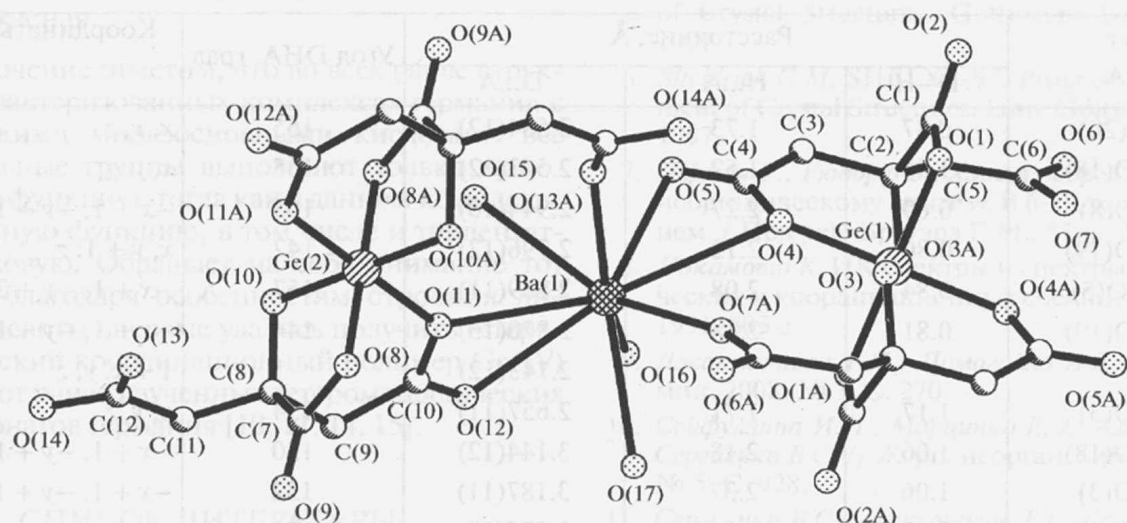


Рис. 1. Фрагмент цепочки в структуре I.

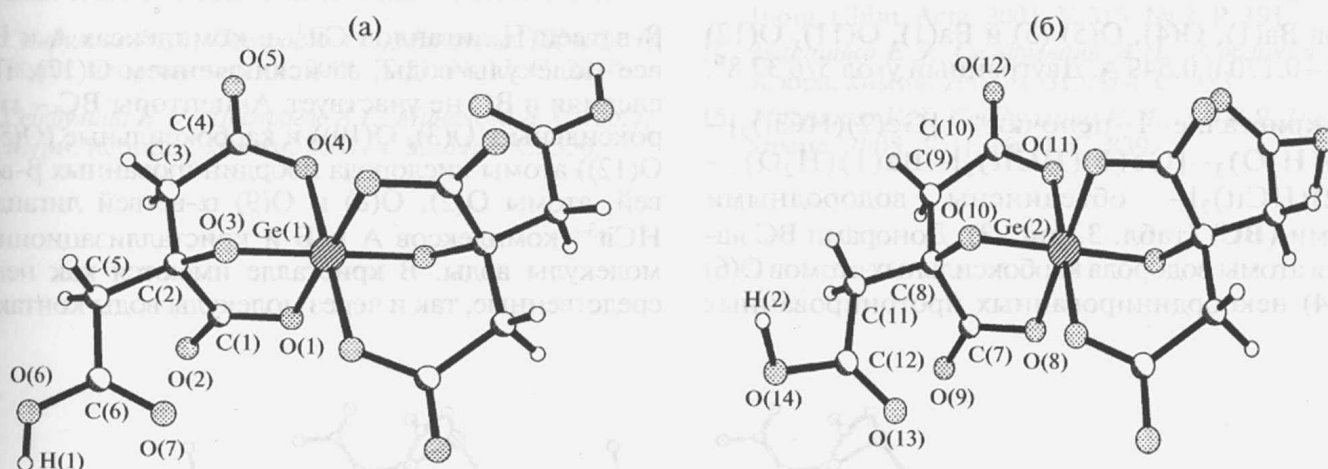


Рис. 2. Строение комплексных анионов атомов Ge(1) (а) и Ge(2) (б).

структуре $(\text{HNic})_2[\text{Ge}(\text{HCit})_2] \cdot 3\text{H}_2\text{O}$ (HNic – протонированная форма никотиновой кислоты) (II) [3], $(\text{HDphg})_2[\text{Ge}(\text{HCit})_2] \cdot 1.08\text{H}_2\text{O}$ (HDphg – протонированная молекула дифенилгуанидина) (III) [4] и $[\text{Ge}(\text{HCit})\text{Cl}(\text{Bipy})] \cdot 3.25\text{CH}_3\text{CN}$ (IV) [13]. Соотношение длин связей $\text{Ge}-\text{O}$ и $\text{C}-\text{O}$ в соединениях II–IV в основном такое же, как в I.

Интервал расстояний $\text{C}-\text{C}(\text{HCit})$ в структуре I составляет $1.502(15)$ – $1.525(12)$ Å. Октаэдрические углы в полиэдрах атомов германия $(88.1(3))^\circ$ – $91.9(3)^\circ$ несущественно отклоняются от идеального значения 90° .

Координационный полиэдр катиона Ba^{2+} образован двумя карбоксилатными атомами кислорода ($\text{O}(4)$, $\text{O}(5)$ и $\text{O}(11)$, $\text{O}(12)$) монокоординированной атомом Ge β-ветви и карбонильным атомом кисло-

рода ($\text{O}(7)$ и $\text{O}(13)$) протонированной не координированной атомом Ge β-ветви лиганда HCit^{3-} от каждого из анионов А и Б. Таким образом, по отношению к ионам Ba^{2+} протонированный лиганд HCit^{3-} является тридентатным моно(хелатно)-мостиковым. КЧ атома Ba дополняется до девяти тремя атомами кислорода молекул воды. Длины связей $\text{Ba}-\text{O}$ различаются: семь лежат в интервале $2.718(8)$ – $2.857(7)$ Å, а две более длинные связи с атомами кислорода $\text{O}(4)$ и $\text{O}(11)$, координирующими атомы Ge, равны $3.081(7)$ и $3.064(6)$ Å.

При координации лиганда HCit^{3-} с атомом Ba замыкаются два неплоских четырехчленных цикла BaO_2C . Атомы C(4) и C(10) в А и Б соответственно отклоняются в противоположные стороны от соответствующих трехатомных плоскостей

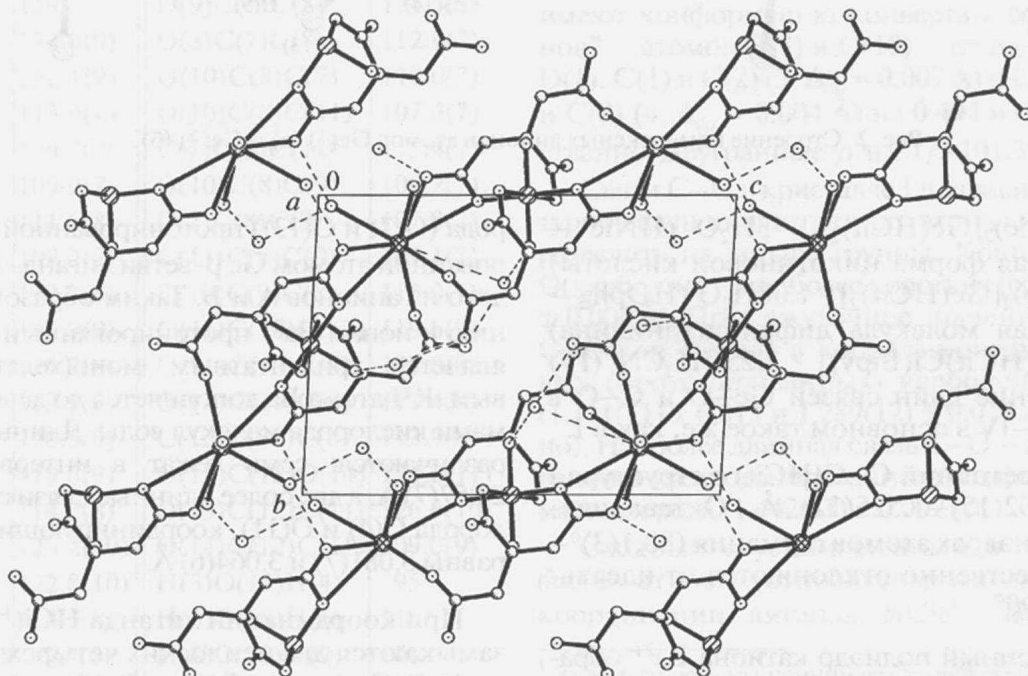
Таблица 3. Геометрические параметры водородных связей и короткие контакты О...О в структуре I

Контакт D—H...A	Расстояние, Å			Угол DHA, град	Координаты атома A
	D—H	H...A	D...A		
O(6)—H(1)...O(20)	0.87	1.73	2.584(12)	165	x, y, z
O(14)—H(2)...O(18)	1.05	1.52	2.543(12)	165	x, y, z
O(15)—H(3)...O(8)	0.69	2.27	2.944(10)	165	$-x + 1, -y + 1, -z + 1$
O(15)—H(4)...O(19)	0.80	2.12	2.796(12)	142	$x, y + 1, z$
O(16)—H(5)...O(5)	0.84	2.08	2.869(11)	157	$-x + 1, -y + 2, -z + 1$
O(16)—H(6)...O(19)	0.81	2.18	2.870(13)	144	$-x + 1, -y + 1, -z + 2$
O(18)...O(2)			2.743(12)		$1 + x, y, z$
O(18)—H(7)...O(3)	1.17	1.71	2.657(11)	134	x, y, z
O(19)—H(8)...O(18)	1.06	2.18	3.144(12)	150	$-x + 1, -y + 1, -z + 1$
O(19)—H(8)...O(3)	1.06	2.37	3.187(11)	132	$-x + 1, -y + 1, -z + 1$
O(19)—H(9)...O(12)	0.97	1.81	2.775(10)	173	$x - 1, y, z$
O(20)...O(6)			2.584(11)		x, y, z
O(20)...O(9)			2.842(12)		$-x + 1, y, z$
O(20)...O(10)			2.747(11)		x, y, z

атомов Ba(1), O(4), O(5) (5) и Ba(1), O(11), O(12) (6) на -0.170 и 0.549 Å. Двугранный угол $5/6\ 32.8^\circ$.

В кристалле I цепочки $-[\text{Ge}(2)(\text{HCit})_2]-\text{Ba}(1)(\text{H}_2\text{O})_3-[\text{Ge}(1)(\text{HCit})_2]-\text{Ba}(1)(\text{H}_2\text{O})_3-[\text{Ge}(2)(\text{HCit})_2]-$ объединены водородными связями (ВС) (табл. 3, рис. 3). Донорами ВС являются атомы водорода карбоксильных атомов O(6) и O(14) некоординированных протонированных

β -ветвей H лигандов Cit³⁻ в комплексах А и Б и все молекулы воды, за исключением O(17). Последняя в ВС не участвует. Акцепторы ВС – гидроксильные (O(3), O(10)) и карбоксильные (O(5) и O(12)) атомы кислорода координированных β -ветвей, атомы O(2), O(8) и O(9) α -ветвей лигандов HCit³⁻ комплексов А и Б и кристаллизационные молекулы воды. В кристалле имеются как непосредственные, так и через молекулы воды контакты

Рис. 3. Проекция структуры I вдоль оси *a*.

между цепочками и ВС $H_2O \dots H_2O$. В целом структура I каркасная.

В заключение отметим, что во всех ранее структурно охарактеризованных комплексах германия с органическими многоосновными кислотами все карбоксильные группы выполняют только моноидентатную функцию, тогда как в данном комплексе I – различную функцию, в том числе и тридентатно-мостиковую. Обращает на себя внимание тот факт, что благодаря особенностям строения лимонной кислоты впервые удалось получить гетерометаллический координационный полимер Ge(IV) в отличие от ранее изученных гетерометаллических комплексонатов германия [10, 11, 14, 15].

СПИСОК ЛИТЕРАТУРЫ

1. Скопенко В.В., Цивадзе А.Ю., Савранский Л.И., Гарновский А.Д. Координационная химия. М.: Академкнига, 2007. 487 с.
2. Стил Дж.В., Этвуд Дж.Л. Супрамолекулярная химия. Т. 2. М.: ИКЦ “Академкнига”, 2007. 416 с.
3. Сейфуллина И.И., Песарогло А.Г., Миначева Л.Х. и др. // Журн. неорган. химии. 2006. Т. 51. № 12. С. 2010.
4. Сейфуллина И.И., Песарогло А.Г., Миначева Л.Х. и др. // Журн. неорган. химии. 2007. Т. 52. № 4. С. 550.
5. Sheldrick G.M. SHELXS-97. Program for the Solution of Crystal Structures. Göttingen: Univ. Göttingen, 1997.
6. Sheldrick G.M. SHELXL-97. Program for the Refinement of Crystal Structures. Univ. Göttingen, Germany. 1997.
7. Гофман У., Рюдорф В., Хаас А. и др. Руководство по неорганическому синтезу. В 6-ти томах. Т. 3. Пер. с нем. / Под ред. Брауэра Г. М.: Мир, 1985. 392 с.
8. Накамото К. ИК спектры и спектры КР неорганических и координационных соединений. М.: Мир, 1991. 505 с.
9. Джармалиева Г.И., Помогайло А.Д. // Успехи химии. 2008. № 3. С. 270.
10. Сейфуллина И.И., Марцинко Е.Э., Александров Г.Г., Сергиенко В.С. // Журн. неорган. химии. 2004. Т. 49. № 5. С. 928.
11. Сергиенко В.С., Александров Г.Г., Сейфуллина И.И., Марцинко Е.Э. // Кристаллография. 2004. Т. 49. № 5. С. 876.
12. Марцинко Е.Э., Сейфуллина И.И., Миначева Л.Х. и др. // Журн. неорган. химии. 2008. Т. 53. № 11. С. 1814.
13. Willey G.R., Somasunderam U., Aris D.R., Errington W. // Inorg. Chim. Acta. 2001. V. 315. № 2. P. 191.
14. Марцинко Е.Э., Сейфуллина И.И., Вербецкая Т.Г. // Коорд. химия. 2005. Т. 31. № 8. С. 953.
15. Марцинко Е.Э., Сейфуллина И.И., Зуб В.Я. // Коорд. химия. 2005. Т. 31. № 11. С. 839.